

# 随机信号处理mooc (下)

2021年10月25日 9:22

参考：《随机信号处理-西安电子科技大学-赵国庆》

<https://www.bilibili.com/video/BV16s411p7iX>

因为太长了，做个分篇，这里是41-72集

## 白噪声通过线性系统

白噪声均值为0，功率谱在无穷区间均匀分布

$$G_x(\omega) = \frac{N_0}{2}, \quad -\infty < \omega < \infty$$

$$R_x(\tau) = \frac{N_0}{2} \delta(\tau) = \frac{1}{2\pi} \int_{-\infty}^{\infty} \frac{N_0}{2} e^{j\omega\tau} d\omega$$

$$\int_0^{\infty} \delta(\tau) d\tau = \frac{1}{2}$$

### 一般关系式

冲击响应函数/传递函数

$h(t)$   $H(\omega)$

$$G_y(\omega) = G_x(\omega) |H(\omega)|^2 = \frac{N_0}{2} |H(\omega)|^2$$

$$R_y(\tau) = R_x(\tau) \otimes h(\tau) \otimes h(-\tau) = \frac{N_0}{2} \frac{1}{2\pi} \int_{-\infty}^{\infty} |H(\omega)|^2 e^{j\omega\tau} d\omega = \frac{N_0}{2} h(\tau) \otimes h(-\tau)$$

前者一般用来计算输出过程功率谱，后者用来计算输出过程相关函数

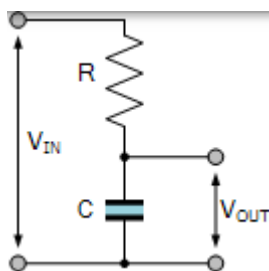
### 等效噪声通频带 $\Delta f_n$

说明输出后的等效宽度有多少

$$\Delta f_n = \frac{\int_0^{\infty} G(\omega) d\omega}{2\pi |G(\omega_0)|} \quad |G(\omega_0)| = \max |G(\omega)|$$

反映了能量在频谱上的集中程度，越大代表分布越宽，频谱占据越宽变化越大

### 通过RC低频滤波器（积分器）



$$H(\omega) = \frac{j \frac{1}{\omega C}}{R + j \frac{1}{\omega C}}$$

$$|H(\omega)|^2 = \frac{(\frac{1}{\omega C})^2}{R^2 + (\frac{1}{\omega C})^2} = \frac{1}{(R\omega C)^2 + 1}$$

令  $a = \frac{1}{RC}$  则

$$|H(\omega)|^2 = \frac{a^2}{\omega^2 + a^2}$$

则有

$$G_y(\omega) = G_x(\omega) |H(\omega)|^2 = \frac{N_0}{2} \frac{a^2}{\omega^2 + a^2}$$

$$R_y(\tau) = \frac{N_0 a^2}{2} \frac{2}{2\pi} \int_0^\infty \frac{1}{\omega^2 + a^2} \cos(\omega\tau) d\omega = \frac{N_0}{2} \frac{1}{2} a e^{-a|\tau|} = \frac{N_0}{4} a e^{-a|\tau|}$$

等效噪声通频带

$$\Delta f_n = \frac{\frac{N_0}{2} \int_0^\infty \frac{a^2}{\omega^2 + a^2} d\omega}{2\pi \frac{N_0}{2}} = \frac{1}{2\pi} \int_0^\infty \frac{a^2}{\omega^2 + a^2} d\omega = \frac{a}{4} = \frac{1}{4RC}$$

RC越大, 过滤的高频分量越多, 频带越小

相关系数

$$r_y(\tau) = \frac{C_y(\tau)}{C_y(0)} = \frac{R_y(\tau)}{R_y(0)} = \frac{\frac{N_0}{4} a e^{-a|\tau|}}{\frac{N_0}{4} a} = e^{-a|\tau|}$$

相关时间

$$\tau_0 = \int_0^\infty a^{-a\tau} d\tau = \frac{1}{a} = RC = \frac{1}{4\Delta f_n}$$

相关时间和等效噪声通频带关系

几乎所有的  $\tau_0 \propto \frac{1}{\Delta f_n}$  都成立

**通过理想的低通滤波器**



$$|H(\omega)| = \begin{cases} K_0 & |\omega| \leq \Delta\Omega \\ 0 & \text{others} \end{cases}$$

$$G_y(\omega) = \frac{N_0}{2} K_0^2 \quad |\omega| \leq \Delta\Omega$$

$$R_y(\tau) = \frac{N_0}{2} K_0^2 \frac{2}{2\pi} \int_0^\infty \cos(\omega\tau) d\omega = \frac{N_0}{2} K_0^2 \frac{\sin\Delta\Omega\tau}{\pi\tau}$$

频域矩形谱, 时域为sin函数

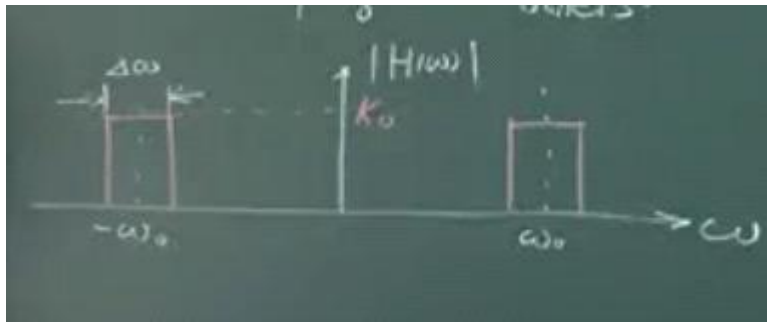
$$\Delta f_n = \frac{\frac{N_0}{2} K_0^2 \Delta\Omega}{2\pi \frac{N_0}{2} K_0^2} = \frac{\Delta\Omega}{2\pi}$$

即为矩形谱的宽度  $\Delta\Omega$

$$r_y(\tau) = \frac{\frac{N_0}{2} K_0^2 \frac{\sin\Delta\Omega\tau}{\pi\tau}}{\frac{N_0}{2} K_0^2 \frac{\Delta\Omega}{\pi}} = \frac{\sin\Delta\Omega\tau}{\Delta\Omega\tau}$$

$$\tau_0 = \int_0^\infty \frac{\sin\Delta\Omega\tau}{\Delta\Omega\tau} d\tau = \frac{\pi}{2\Delta\Omega} = \frac{1}{4\Delta f_n}$$

**通过理想的带通滤波器**



$$|H(\omega)| = \begin{cases} K_0 & |\omega \pm \omega_0| \leq \Delta\omega/2 \\ 0 & \text{others} \end{cases}$$

$$G_y(\omega) = \frac{N_0}{2} K_0^2 \quad |\omega \pm \omega_0| \leq \frac{\Delta\omega}{2}$$

$$R_y(\tau) = \frac{N_0}{2} K_0^2 \frac{2}{2\pi} \int_{\omega_0 - \frac{\Delta\omega}{2}}^{\omega_0 + \frac{\Delta\omega}{2}} \cos(\omega\tau) d\omega = \frac{N_0}{2} K_0^2 \frac{1}{2\pi\tau} \cos\omega_0\tau \sin\frac{\Delta\omega\tau}{2}$$

在sin函数的基础上加了一个载波

$$\Delta f_n = \frac{\frac{N_0}{2} K_0^2 \Delta\omega}{2\pi \frac{N_0}{2} K_0^2} = \frac{\Delta\omega}{2\pi} = \Delta f$$

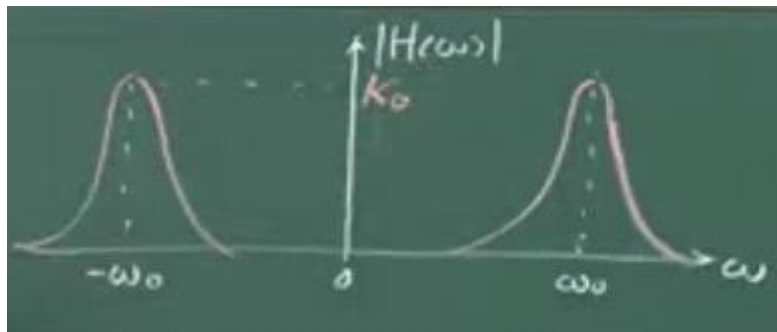
角频率转为物理频率

$$r_y(\tau) = \frac{\frac{N_0}{2} K_0^2 \frac{1}{2\pi\tau} \cos\omega_0\tau \sin\frac{\Delta\omega\tau}{2}}{\frac{N_0}{2} K_0^2 \frac{1}{2\pi} \frac{\Delta\omega}{2}} = \frac{2\cos\omega_0\tau \sin\frac{\Delta\omega\tau}{2}}{\Delta\omega\tau}$$

相关时间不看载波，只看包络

$$\tau_0 = \int_0^\infty \frac{2}{\Delta\omega\tau} \sin\frac{\Delta\omega\tau}{2} d\tau = \frac{\pi}{\Delta\omega} = \frac{1}{2\Delta f_n}$$

### 通过高斯型带通滤波器



$$|H(\omega)| = K_0 e^{-\frac{(\omega \pm \omega_0)^2}{2\beta^2}} \quad -\infty < \omega < \infty$$

$$G_y(\omega) = \frac{N_0}{2} K_0^2 e^{-\frac{(\omega \pm \omega_0)^2}{\beta^2}} \quad -\infty < \omega < \infty$$

$$\begin{aligned} R_y(\tau) &= \frac{N_0}{2} K_0^2 \frac{2}{2\pi} \int_{-\infty}^{\infty} e^{-\frac{(\omega - \omega_0)^2}{\beta^2}} \cos\omega\tau d\omega \quad \text{令 } \omega - \omega_0 = \omega' \\ &= \frac{N_0}{2} K_0^2 \frac{2}{2\pi} \int_{-\infty}^{\infty} e^{-\frac{\omega'^2}{\beta^2}} \cos(\omega_0 + \omega')\tau d\omega' = \frac{N_0}{2} K_0^2 \frac{2}{2\pi} \int_{-\infty}^{\infty} e^{-\frac{\omega'^2}{\beta^2}} \cos\omega'\tau d\omega' \cos\omega_0\tau \\ &= \frac{N_0}{2} K_0^2 \frac{\beta}{\sqrt{\pi}} \cos\omega_0\tau e^{-\frac{\tau^2\beta^2}{4}} \end{aligned}$$

$$\Delta f_n = \frac{\frac{N_0}{2} K_0^2 \int_{-\infty}^{\infty} e^{-\frac{(\omega-\omega_0)^2}{\beta^2}} d\omega}{2\pi \frac{N_0}{2} K_0^2} = \frac{1}{2\pi} \int_{-\infty}^{\infty} e^{-\frac{(\omega-\omega_0)^2}{\beta^2}} d\omega = \frac{\beta}{2\sqrt{\pi}}$$

$$r_y(\tau) = \frac{\frac{N_0}{2} K_0^2 \frac{\beta}{\sqrt{\pi}} \cos \omega_0 \tau e^{-\frac{\tau^2 \beta^2}{4}}}{\frac{N_0}{2} K_0^2 \frac{\beta}{\sqrt{\pi}}} = \cos \omega_0 \tau e^{-\frac{\tau^2 \beta^2}{4}}$$

载波项依然存在

载波项依然不参加积分

$$\tau_0 = \int_0^{\infty} e^{-\frac{\tau^2 \beta^2}{4}} d\tau = \frac{\sqrt{\pi}}{\beta} = \frac{1}{2\Delta f_n}$$

## 随机过程线性变换后的概率分布

### 输入为正态分布过程 输出仍为正态分布过程

证明：输入正态过程经过线性变换仍为正态过程

$$P(x_1 \cdots x_n, t_1 \cdots t_n) = P_x(X) = \frac{1}{(2\pi)^{\frac{n}{2}} |C|^{\frac{1}{2}}} \exp \left\{ -\frac{1}{2} (X - M_x)^T C^{-1} (X - M_x) \right\}$$

线性变换

$$Y = L[X]$$

雅可比行列式

$$|J| = \left| \frac{\partial X}{\partial Y} \right| \quad X = L^{-1}[Y] \quad |J| = |L^{-1}| = \frac{1}{|L|}$$

$$P_Y(L^{-1}[Y]) = \frac{1}{(2\pi)^{\frac{n}{2}} |C|^{\frac{1}{2}} |L|} \exp \left\{ -\frac{1}{2} (L^{-1}[Y] - M_x)^T C^{-1} (L^{-1}[Y] - M_x) \right\}$$

$$= \frac{1}{(2\pi)^{\frac{n}{2}} |C|^{\frac{1}{2}} |L|} \exp \left\{ -\frac{1}{2} (Y - L[M_x])^T L^{-1T} C^{-1} L^{-1} (Y - L[M_x]) \right\}$$

$$= \frac{1}{(2\pi)^{\frac{n}{2}} |C|^{\frac{1}{2}} |L|} \exp \left\{ -\frac{1}{2} (Y - L[M_x])^T Q^{-1} (Y - L[M_x]) \right\}$$

$$Q^{-1} = (LCL^T)^{-1}$$

$$|LCL^T| = |L||C||L^T| = |L|^2|C| = Q$$

$$= \frac{1}{(2\pi)^{\frac{n}{2}} |Q|^{\frac{1}{2}}} \exp \left\{ -\frac{1}{2} (Y - M_Y)^T Q^{-1} (Y - M_Y) \right\}$$

仅仅是协方差矩阵从C变为Q，均值从M<sub>x</sub>变为M<sub>y</sub>=L[M<sub>x</sub>]

### 输入非正态分布宽谱过程 输出窄带线性系统近似为正态过程

#### 输入为白噪声 输出有限带宽系统近似正态过程

后两条可以利用中心极限定理，带宽的比值，输入的谱很宽通过窄带系统的时候，无法及时响应，快速变化形成叠加，等效为正态随机过程

## Chapter Three 平稳窄带随机过程

### 平稳窄带随机过程的表示

#### 产生原因与特点

使用的系统都是窄带系统

原因：

- 1) 宽带输入经过窄带系统，输出变为窄带过程

$$G_y(\omega) = G_x(\omega) |H(\omega)|^2$$

一般无线电系统都存在非线性部分（在总的处理过程中都是线性的，除了部分必要的非线性处理）

- 2) 系统内噪声在输出端也是窄带随机过程

特点：

- 1) 具有明显和确定的中心频率 $\omega_0$
- 2) 振幅和相位变化远远慢于 $\omega_0$

#### 表示

$$x(t) = A(t) \cos(\omega_0 t + \varphi(t))$$

$A(t)$ 振幅调制  $\varphi(t)$ 相位调制

$$x(t) = A(t) \cos \varphi(t) \cos \omega_0 t - A(t) \sin \varphi(t) \sin \omega_0 t = A_c(t) \cos \omega_0 t - A_s(t) \sin \omega_0 t$$

$$A_c(t) = A(t) \cos \omega_0 t$$

$$A_s(t) = A(t) \sin \omega_0 t$$

$A_c(t)$ 与 $A_s(t)$ 称为窄带信号 $x(t)$ 的正交分量

### 解析信号与Hilbert变换

#### 正弦信号的复信号表示

- 1) 时信号

$$S(t) = A \cos(\omega_0 t + \varphi)$$

其中各项均为确定的常数

- 2) 复信号

$$\tilde{S}(t) = A e^{j(\omega_0 t + \varphi)} = A e^{j\varphi} e^{j\omega_0 t}$$

$e^{j\omega_0 t}$  复载波

$A e^{j\varphi}$  复包络

$$R_e[\tilde{S}(t)] = S(t) = A \cos(\omega_0 t + \varphi)$$

$$I_m[\tilde{S}(t)] = \hat{S}(t) = A \sin(\omega_0 t + \varphi)$$

- 3) 频谱关系

$$\begin{aligned} S(t) \Rightarrow S(\omega) &= \frac{A}{2} 2\pi [\delta(\omega - \omega_0) e^{j\varphi} + \delta(\omega + \omega_0) e^{-j\varphi}] \\ &= A\pi [\delta(\omega - \omega_0) e^{j\varphi} + \delta(\omega + \omega_0) e^{-j\varphi}] \end{aligned}$$

$$\hat{S}(t) \Rightarrow \hat{S}(\omega) = \frac{A\pi}{j} [\delta(\omega - \omega_0) e^{j\varphi} - \delta(\omega + \omega_0) e^{-j\varphi}]$$

$$\tilde{S}(t) = S(t) + j\hat{S}(t) \Rightarrow 2A\pi \delta(\omega - \omega_0) e^{j\varphi}$$

具有单边频谱特性

$$\tilde{S}(\omega) = \begin{cases} 2S(\omega) & \omega \geq 0 \\ 0 & \omega < 0 \end{cases}$$

## 高频窄带信号的复信号表示

### 1) 实信号

$$S(t) = A(t)\cos(\omega_0 t + \varphi(t))$$

$A(t)$   $\varphi(t)$  为确定函数,  $\omega_0$  为常数

### 2) 复信号

$$\tilde{S}(t) = A(t)e^{j\varphi(t)}e^{j\omega_0 t}$$

$$R_e[\tilde{S}(t)] = S(t) = A(t)\cos\omega_0 t\cos\varphi(t)$$

$$I_m[\tilde{S}(t)] = \hat{S}(t) = A(t)\sin\omega_0 t\sin\varphi(t)$$

### 3) 频谱关系

$$A(t)e^{j\varphi(t)} \xrightarrow{\square} \tilde{A}(\omega)$$

$$A(t)\cos\varphi(t) \xrightarrow{\square} A(\omega)$$

$$S(t) \xrightarrow{\square} \pi[\tilde{A}(\omega - \omega_0) + \tilde{A}(\omega + \omega_0)]$$

$$\hat{S}(t) \xrightarrow{\square} \frac{\pi}{j}[\tilde{A}(\omega - \omega_0) - \tilde{A}(\omega + \omega_0)]$$

$$\tilde{S}(t) \xrightarrow{\square} 2\pi\tilde{A}(\omega - \omega_0)$$

只在频率正方向有频谱, 且能量不损失

保存了完整的幅度信息和相位信息

I Q信号

## 解析信号与hilbert变换

定义解析信号:

具有单边频谱特性的复信号

$$\tilde{S}(t) = S(t) + j\hat{S}(t)$$

称为解析信号

$$\tilde{S}(\omega) = \begin{cases} 2S(\omega) & \omega > 0 \\ S(\omega) & \omega = 0 \\ 0 & \omega < 0 \end{cases}$$

$$\hat{S}(\omega) = \begin{cases} \frac{S(\omega)}{j} & \omega > 0 \\ 0 & \omega = 0 \\ -\frac{S(\omega)}{j} & \omega < 0 \end{cases} \Rightarrow \frac{S(\omega)}{j} \text{sgn}(\omega)$$

$$\text{sgn}(\omega) = \begin{cases} 1 & \omega > 0 \\ 0 & \omega = 0 \\ -1 & \omega < 0 \end{cases}$$

转换为时域, 则有

$$\hat{S}(t) = S(t) \otimes \frac{1}{\pi t} = \frac{1}{\pi t} \int_{-\infty}^{\infty} \frac{S(\tau)}{t - \tau} d\tau$$

定义hilbert变换:

### 1) 已知实部, 求虚部 (正变换)

$$\hat{S}(t) = S(t) \otimes \frac{1}{\pi t}$$

### 2) 已知虚部, 求实部 (反变换)

$$S(t) = \hat{S}(t) \otimes \frac{-1}{\pi t}$$

用于求解复信号的实部or虚部

例: 已知信号  $S(t) = \cos\omega_0 t$  求其hilbert变换和解析信号

$$\hat{S}(t) = \frac{1}{\pi} \int_{-\infty}^{\infty} \frac{\cos \omega_0 \tau}{t - \tau} d\tau$$

$$\text{令 } \tau' = t - \tau$$

$$\hat{S}(t) = \frac{1}{\pi} \int_{-\infty}^{\infty} \frac{\cos \omega_0 (t - \tau)}{\tau} d\tau = \frac{2}{\pi} \int_0^{\infty} \frac{\sin \omega_0 \tau}{\tau} d\tau \sin \omega_0 t = \sin \omega_0 t$$

$$\tilde{S}(t) = \cos \omega_0 t + j \sin \omega_0 t$$

一般解法：从频域开始

$$S(t) \Rightarrow S(\omega)$$

$$\hat{S}(t) = F^{-1}[\hat{S}(\omega)] = \frac{S(\omega)}{j} \operatorname{sgn}(\omega)$$

如果是欧拉式，利用指数的性质

hilbert变换是一般方法，对所有信号适用

## 解析复随机过程

### 复随机过程

定义：若 $x(t)$ ， $y(t)$ 为任意实随机过程，则称 $z(t)=x(t)+jy(t)$ 为复随机过程

均值：

$$E[z(t)] = m_x(t) + jm_y(t) = m_z(t)$$

方差：

$$D[z(t)] = E[(z(t) - m_z(t))^* (z(t) - m_z(t))] = D[x(t)] + D[y(t)]$$

相关函数：

$$\begin{aligned} R_z(t_1, t_2) &= E[(x(t_1) - jy(t_1))(x(t_2) + jy(t_2))] \\ &= R_x(t_1, t_2) + R_y(t_1, t_2) + j[R_{xy}(t_1, t_2) - R_{yx}(t_1, t_2)] \end{aligned}$$

互相关函数：

$$\begin{aligned} R_{z_1 z_2}(t_1, t_2) &= E[(x_1(t_1) - jy_1(t_1))(x_2(t_2) + jy_2(t_2))] \\ &= R_{x_1 x_2}(t_1, t_2) + R_{y_1 y_2}(t_1, t_2) + j[R_{x_1 y_2}(t_1, t_2) - R_{y_1 x_2}(t_1, t_2)] \end{aligned}$$

### 解析复随机过程的相关函数和功率谱

定义：

若随机过程 $\tilde{x}(t) = x(t) + j\hat{x}(t)$ ，若 $\hat{x}(t) = x(t) \otimes \frac{1}{\pi t}$

则称 $\tilde{x}(t)$ 为解析复随机过程，其中 $x(t)$ ， $\hat{x}(t)$ 为实随机过程

相关函数：

$$R_{\tilde{x}\tilde{x}}(\tau) = R_{x\hat{x}}(-\tau)$$

$$R_{\tilde{x}\tilde{x}}(\tau) = -R_x(\tau) \otimes \frac{1}{\pi \tau}$$

$$R_{x\hat{x}}(\tau) = R_x(\tau) \otimes \frac{1}{\pi \tau}$$

$$R_{x\hat{x}}(\tau) = -R_{\hat{x}x}(\tau)$$

$$R_{x\hat{x}}(-\tau) = -R_{\hat{x}x}(\tau)$$

$$R_x(\tau) = R_{\hat{x}}(\tau)$$

$$R_{\tilde{x}}(\tau) = 2[R_x(\tau) + jR_{x\hat{x}}(\tau)]$$

功率谱：

$$G_{\tilde{x}}(\omega) = 2G_x(\omega) + 2G_x(\omega) \operatorname{sgn}(\omega)$$

证明：

$$\begin{aligned} 1) \text{ left} &= E[\hat{x}(t) x(t + \tau)] \\ t + \tau &= t' \\ &= E[\overline{x(t')} x(t' - \tau)] \\ &= R_{x\hat{x}}(-\tau) \end{aligned}$$

- $$2) \text{ left} = E[\hat{x}(t) x(t + \tau)] = E\left[\frac{1}{\pi} \int_{-\infty}^{\infty} \frac{x(p)}{\tau - p} dp x(t + \tau)\right] = \frac{1}{\pi} \int_{-\infty}^{\infty} \frac{R_x(t + \tau - p)}{t - p} dp$$
- $$t - p = p'$$
- $$= \frac{1}{\pi} \int_{-\infty}^{\infty} \frac{R_x(p' + \tau)}{p'} dp'$$
- $$p' + \tau = p$$
- $$= \frac{1}{\pi} \int_{-\infty}^{\infty} \frac{R_x(p)}{p - \tau} dp$$
- $$= -R_x(\tau) \otimes \frac{1}{\pi \tau}$$
- $$3) R_{x\hat{x}}(\tau) = E\left[x(t) \frac{1}{\pi} \int_{-\infty}^{\infty} \frac{x(p)}{t + \tau - p} dp\right] = \frac{1}{\pi} \int_{-\infty}^{\infty} \frac{R_x(p - t)}{t + \tau - p} dp$$
- $$p - t = p'$$
- $$= \frac{1}{\pi} \int_{-\infty}^{\infty} \frac{R_x(p')}{\tau - p'} dp' = R_x(\tau) \otimes \frac{1}{\pi \tau}$$
- 4) 根据2、3就可以得到
- 5) 利用之前的结果交换一下就可以了
- 6)  $\hat{x}(t) = x(t) \otimes \frac{1}{\pi t}$
- $$\frac{1}{\pi t} \Rightarrow |\text{sgn}(\omega) / j|^2$$
- $$G_{\hat{x}}(\omega) = G_x(\omega) |\text{sgn}(\omega) / j|^2 = G_x(\omega)$$
- $$R_x(\tau) = R_{\hat{x}}(\tau)$$
- 7) 可以根据互相关函数的计算方式
- 8) 对第7进行傅里叶变化得到

### 窄带随机过程的复包络和统计特性

实窄带过程  $y(t) = A(t) \cos[\omega_0 t + \varphi(t)]$

复窄带过程  $\hat{y}(t) = A(t)e^{j\varphi(t)}e^{j\omega_0 t} = \tilde{A}(t)e^{j\omega_0 t} = y(t) + j\hat{y}(t)$

- 1)  $\hat{y}(t)$ 的相关函数

$$R_{\hat{y}}(\tau) = 2[R_y(\tau) + jR_{y\hat{y}}(\tau)] = E[\tilde{A}(t)^* e^{j\omega_0 t} \tilde{A}(t + \tau) e^{j\omega_0(t + \tau)}] = R_{\tilde{A}}(\tau) e^{j\omega_0 \tau}$$

- 2) 功率谱

$$G_{\hat{y}}(\omega) = \begin{cases} 4G_y(\omega) & \omega > 0 \\ 2G_y(\omega) & \omega = 0 \\ 0 & \omega < 0 \end{cases}$$

$$= G_{\tilde{A}}(\omega - \omega_0)$$

- 3) 相互关系

$$R_y(\tau) = A(\tau) \cos \omega_0 \tau$$

$$A(\tau) = \frac{1}{4\pi} \int_{-\omega_0}^{\omega_0} G_{\tilde{A}}(\omega) \cos \omega_0 \tau d\omega$$

证明:

$$\text{left} = \frac{1}{2\pi} \int_{-\infty}^{\infty} G_y(\omega) e^{j\omega\tau} d\omega = \frac{1}{\pi} \int_0^{\infty} G_y(\omega) \cos \omega\tau d\omega = \frac{1}{4\pi} \int_0^{\infty} G_{\hat{y}}(\omega) \cos \omega\tau d\omega$$

$$= \frac{1}{4\pi} \int_0^{\infty} G_{\tilde{A}}(\omega - \omega_0) \cos \omega\tau d\omega$$

$$\omega - \omega_0 = \omega'$$

$$= \frac{1}{4\pi} \int_{-\omega_0}^{\infty} G_{\tilde{A}}(\omega') \cos(\omega_0 + \omega')\tau d\omega = \frac{1}{4\pi} \int_{-\omega_0}^{\infty} G_{\tilde{A}}(\omega') \cos \omega'\tau \cos \omega_0 \tau d\omega$$

$$= \cos \omega_0 \tau \frac{1}{4\pi} \int_{-\omega_0}^{\infty} G_{\tilde{A}}(\omega') \cos \omega'\tau d\omega = \text{right}$$



#### 4) 统计特性

$$y(t) = A_c(t)\cos\omega_0 t - A_s(t)\sin\omega_0 t$$

$$\hat{y}(t) = A_c(t)\sin\omega_0 t + A_s(t)\cos\omega_0 t$$

$$\begin{bmatrix} y(t) \\ \hat{y}(t) \end{bmatrix} = \begin{bmatrix} \cos\omega_0 t & -\sin\omega_0 t \\ \sin\omega_0 t & \cos\omega_0 t \end{bmatrix} \begin{bmatrix} A_c(t) \\ A_s(t) \end{bmatrix}$$

$$\begin{bmatrix} A_c(t) \\ A_s(t) \end{bmatrix} = \begin{bmatrix} \cos\omega_0 t & \sin\omega_0 t \\ -\sin\omega_0 t & \cos\omega_0 t \end{bmatrix} \begin{bmatrix} y(t) \\ \hat{y}(t) \end{bmatrix}$$

$$A_c(t) = \cos\omega_0 t y(t) + \sin\omega_0 t \hat{y}(t)$$

$$A_s(t) = -\sin\omega_0 t y(t) + \cos\omega_0 t \hat{y}(t)$$

正交分量的自相关函数

$$R_c(\tau) = E[A_c(t)A_c(t+\tau)]$$

$$= E[(\cos\omega_0 t y(t) + \sin\omega_0 t \hat{y}(t))(\cos\omega_0(t+\tau)y(t+\tau) + \sin\omega_0(t+\tau)\hat{y}(t+\tau))]$$

$$= R_y(\tau)[\cos\omega_0 t \cos\omega_0(t+\tau) + \sin\omega_0 t \sin\omega_0(t+\tau)]$$

$$+ R_{y\hat{y}}(\tau)[\cos\omega_0 t \sin\omega_0(t+\tau) - \sin\omega_0 t \cos\omega_0(t+\tau)]$$

$$= R_y(\tau)\cos\omega_0 \tau + R_{y\hat{y}}(\tau)\sin\omega_0 \tau$$

$$= R_s(\tau)$$

窄带过程中两个正交分量的自相关函数相等

$$R_{cs}(\tau) = -R_{sc}(\tau)$$

$$R_{cs}(0) = -R_{sc}(0) = 0$$

互相关函数在同一时刻不相关/正交

例子:

设窄带随机过程 $y(t)$ 具有一个对称的功率谱, 其相关函数满足:

$$R_y(\tau) = A(\tau)\cos\omega_0 \tau$$

求相关函数 $R_{\hat{y}}(\tau)R_{\hat{y}}(\tau)$ , 方差 $\sigma_y^2\sigma_{\hat{y}}^2$ ; 进一步求解 $R_c(\tau)R_s(\tau)\sigma_c^2\sigma_s^2R_{cs}(\tau)R_{sc}(\tau)$

解:

$$R_y(\tau) = R_{\hat{y}}(\tau) = A(\tau)\cos\omega_0 \tau$$

$$R_{\hat{y}}(\tau) = 2[R_y(\tau) + jR_{y\hat{y}}(\tau)] = 2(A(\tau)\cos\omega_0 \tau + jA(\tau)\sin\omega_0 \tau)$$

$$\sigma_y^2 = R_y(0) = A(0)$$

$$\sigma_{\hat{y}}^2 = R_{\hat{y}}(0) = 2A(0)$$

$$R_c(\tau) = R_y(\tau)\cos\omega_0 \tau + R_{y\hat{y}}(\tau)\sin\omega_0 \tau = A(\tau)\cos^2\omega_0 \tau + A(\tau)\sin^2\omega_0 \tau = A(\tau) = R_s(\tau)$$

$$R_c(0) = \sigma_c^2 = A(0) = \sigma_s^2$$

$$R_{cs}(\tau) = -R_y(\tau)\sin\omega_0 \tau + R_{y\hat{y}}(\tau)\cos\omega_0 \tau = -A(\tau)\cos\omega_0 \tau \sin\omega_0 \tau + A(\tau)\sin\omega_0 \tau \cos\omega_0 \tau = 0$$

$$= R_{sc}(\tau)$$

说明窄带随机过程的两个正交分量, 是始终正交的

## 窄带正态过程包络和相位的概率分布

### 窄带正态噪声包络与相位的概率分布

窄带噪声

$$n(t) = A(t)\cos[\omega_0 t + \varphi(t)] = A_c(t)\cos\omega_0 t - A_s(t)\sin\omega_0 t$$

正态噪声:  $A_c(t)$   $A_s(t)$  满足0均值的正态分布

$$P(A_c) = \frac{1}{\sqrt{2\pi}\sigma} e^{-\frac{A_c^2}{2\sigma^2}} \quad -\infty < A_c < \infty$$

$$P(A_s) = \frac{1}{\sqrt{2\pi}\sigma} e^{-\frac{A_s^2}{2\sigma^2}} \quad -\infty < A_s < \infty$$

因为正交

$$P(A_c A_s) = P(A_c)P(A_s) = \frac{1}{2\pi\sigma^2} e^{-\frac{A_c^2 + A_s^2}{2\sigma^2}} \quad -\infty < A_c, A_s < \infty$$

引入新随机变量A振幅 $\varphi$ 相位

$$A_c = A \cos \varphi$$

$$A_s = A \sin \varphi$$

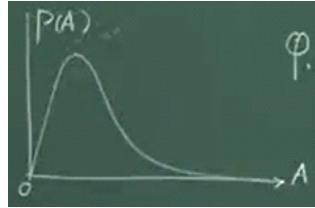
$$|J| = \begin{vmatrix} \frac{\partial A_c}{\partial A} & \frac{\partial A_c}{\partial \varphi} \\ \frac{\partial A_s}{\partial A} & \frac{\partial A_s}{\partial \varphi} \end{vmatrix} = \begin{vmatrix} \cos \varphi & -A \sin \varphi \\ \sin \varphi & A \cos \varphi \end{vmatrix} = A$$

$$P(A, \varphi) = \frac{A}{2\pi\sigma^2} \exp \left\{ -\frac{A^2 \cos^2 \varphi + A^2 \sin^2 \varphi}{2\sigma^2} \right\} = \frac{A}{2\pi\sigma^2} e^{-\frac{A^2}{2\sigma^2}} \quad 0 \leq A < \infty \quad 0 \leq \varphi < 2\pi$$

说明  $\varphi$  在  $[0, 2\pi]$  均匀分布

$$P(\varphi) = \frac{1}{2\pi} \quad 0 \leq \varphi < 2\pi$$

$$P(A) = \frac{A}{\sigma^2} e^{-\frac{A^2}{2\sigma^2}} \quad 0 \leq A < \infty \text{ Reily分布 (瑞利分布)}$$



$\varphi$  和  $A$  独立

正态随机数：使用均匀分布结合反变换，就能得到

### 噪声的二维联合包络与相位的概率分布

$$P(A_c A_s A_{c\tau} A_{s\tau}) = P(A_c A_{c\tau}) P(A_s A_{s\tau})$$

$$P(A_c A_{c\tau}) = \frac{1}{2\pi |C|^{\frac{1}{2}}} \exp \left\{ -\frac{1}{2} (A_c, A_{c\tau}) C^{-1} \begin{pmatrix} A_c \\ A_{c\tau} \end{pmatrix} \right\}$$

$$|R| = \begin{vmatrix} \sigma^2 & R(\tau) \\ R(\tau) & \sigma^2 \end{vmatrix} = \sigma^4 - R^2(\tau)$$

$$R^{-1} = \frac{1}{\sigma^4 - R^2(\tau)} \begin{vmatrix} \sigma^2 & R(\tau) \\ R(\tau) & \sigma^2 \end{vmatrix}$$

$$P(A_c A_{c\tau}) = \frac{1}{2\pi (\sigma^4 - R^2(\tau))^{\frac{1}{2}}} \exp \left\{ -\frac{\sigma^2 [(A_c^2 + A_{c\tau}^2) - 2A_c A_{c\tau} R(\tau)]}{2(\sigma^4 - R^2(\tau))} \right\}$$

$$P(A_c A_s A_{c\tau} A_{s\tau})$$

$$= \frac{1}{(2\pi)^2 (\sigma^4 - R^2(\tau))} \exp \left\{ -\frac{\sigma^2 [(A_c^2 + A_{c\tau}^2 + A_s^2 + A_{s\tau}^2) - 2R(\tau)(A_c A_{c\tau} + A_s A_{s\tau})]}{2(\sigma^4 - R^2(\tau))} \right\}$$

$$A_c = A \cos \varphi$$

$$A_s = A \sin \varphi$$

$$A_{c\tau} = A_\tau \cos \varphi_\tau$$

$$A_{s\tau} = A_\tau \sin \varphi_\tau$$

$$|J| = \begin{vmatrix} \cos \varphi & -A \sin \varphi & 0 & 0 \\ \sin \varphi & A \cos \varphi & 0 & 0 \\ 0 & 0 & \cos \varphi_\tau & -A_\tau \cos \varphi_\tau \\ 0 & 0 & \sin \varphi_\tau & A_\tau \cos \varphi_\tau \end{vmatrix} = A A_\tau$$

$$P(A A_\tau \varphi \varphi_\tau) = \frac{A A_\tau}{4\pi^2 (\sigma^4 - R^2(\tau))} \exp \left\{ -\frac{\sigma^2 [(A^2 + A_\tau^2) - 2A A_\tau R(\tau) \cos(\varphi - \varphi_\tau)]}{2(\sigma^4 - R^2(\tau))} \right\}$$

相位分布和包络分布不再独立

$$P(A A_\tau) = \frac{A A_\tau}{(\sigma^4 - R^2(\tau))} e^{-\frac{\sigma^2 (A^2 + A_\tau^2)}{2(\sigma^4 - R^2(\tau))}} I_0 \left( -\frac{2A A_\tau R(\tau)}{2(\sigma^4 - R^2(\tau))} \right)$$

$I_0$  为零阶修正的bessd函数 (贝塞尔函数)

### 加入正弦信号后合成包络与相位的概率分布

$S(t) = A \cos(\omega_0 t + \theta)$   $A, \omega_0$  为常数,  $\theta$  为  $[0, 2\pi]$  均匀分布的随机变量

$$S(t) = A \cos \theta \cos \omega_0 t - A \sin \theta \sin \omega_0 t$$

$$n(t) + S(t)$$

$$P(A_c A_s | \theta) = \frac{1}{2\pi\sigma^2} \exp \left\{ -\frac{(A_c - A \cos \theta)^2 + (A_s - A \sin \theta)^2}{2\sigma^2} \right\}$$

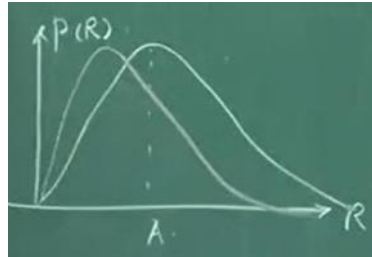
$$P(R, \varphi | \theta) = \frac{R}{2\pi\sigma^2} \exp \left\{ -\frac{R^2 + A^2 - 2AR \cos(\varphi - \theta)}{2\sigma^2} \right\}$$

不独立

$$P(R) = \frac{R}{\sigma^2} \exp \left\{ -\frac{R^2 + A^2}{2\sigma^2} \right\} I_0 \left( -\frac{AR}{\sigma^2} \right) \quad R \geq 0$$

广义Reily分布/Rice分布（莱斯分布）（若 $A=0$ ，则为Reily分布）

信号能量很小的时候，趋近于Reily分布；信号能量很大的时候，趋近于正态分布



包络和相位的分布取决于两个因素：信号的幅度和噪声的关系

噪声的大小： $\sigma^2$ 是噪声的功率

$\sigma$ 与 $A$ 的比值，就是信噪比

信噪比越高，趋向于正态分布；信噪比越低，趋向于噪声的Reily分布

## 平稳窄带随机过程

## 非线性变换概述

### 随机过程非线性变换的直接方法

### 随机过程非线性变换的变换法

### 随机过程非线性变换的缓变包络法

### 随机过程通过限幅器的分析

## 无线电系统输出端信噪比的计算

